

01

## Исследование соотношений взаимности для нелинейного многополюсника в неоднородном магнитном поле

© В.К. Игнатъев, С.В. Перченко <sup>✉</sup>

Волгоградский государственный университет,  
400062 Волгоград, Россия

<sup>✉</sup> e-mail: perchenko.sergey@gmail.com

(Поступило в Редакцию 20 июня 2016 г. В окончательной редакции 9 ноября 2016 г.)

На основе материального уравнения нелинейной неоднородной и нестационарной проводящей среды в приближении интеграла столкновений Ландау получены соотношения взаимности для матрицы нелинейных сопротивлений многополюсника, находящегося в неоднородном внешнем магнитном поле. Рассмотрен вопрос об измеряемых потенциалах выводов многополюсника в квазистационарном режиме. Предложен способ проверки полученных соотношений взаимности и приведены экспериментальные результаты. Показано, что в пределах погрешности электрических измерений соотношения взаимности для нелинейного многополюсника выполняются.

DOI: 10.21883/JTF.2017.06.44504.1942

### Введение

Элементы магнетроники в общем случае можно рассматривать как параметрические многополюсники, осуществляющие интегральное преобразование сигналов вида свертки, ядром которого является системная функция, полностью описывающая все свойства элемента [1]. Сигнальным воздействием на такой многополюсник является в общем случае неоднородное внешнее магнитное поле, которое может быть существенно меньшим, чем магнитные поля, создаваемые протекающими по многополюснику токами. Выделить реакцию многополюсника на малое внешнее поле можно методом взаимности [2]. Однако преобразователи, применяемые в устройствах функциональной электроники, имеют нелинейные вольт-амперные характеристики. Соотношения же Онзагера симметрии кинетических коэффициентов [3] получены в линейном приближении для однородного магнитного поля. Возможность их применения для нелинейных систем требует обоснования.

Для стационарной, однородной и нелинейной проводящей среды, находящейся в однородном магнитном поле, в релаксационном приближении были получены соотношения взаимности для тензора нелинейной проводимости [4]. Однако их экспериментальная проверка не представляется возможной, так как измерительные зонды, вводимые в проводящую среду, искажают однородность полей в ней. Кроме того, протекающие токи создают в среде неоднородное магнитное поле. Без теоретического обоснования предложены соотношения взаимности для матрицы электрически измеряемых нелинейных сопротивлений четырехполюсника и проведена их экспериментальная проверка [5].

Получить универсальные соотношения взаимности для нелинейной системы в неоднородном магнитном поле без предположений о процессах в ней, видимо, не возможно [6]. Даже для неравновесных процессов в ли-

нейных системах соотношения взаимности постулируются [7]. Поэтому представляет интерес обосновать такие соотношения в наиболее общих предположениях для измеряемых с наивысшей точностью без возмущения процессов в самой системе величин. Такой системой может быть нелинейный многополюсник, процессы переноса в котором описываются кинетическим уравнением.

### Материальное уравнение нелинейной среды

Основным механизмом релаксации носителей заряда проводимости является рассеяние на ионах, коллектив которых является термостатом для носителей заряда. Функция распределения  $f_r(t, \mathbf{r}, \mathbf{p}', R)$  ионов равновесная, определяется только температурой и не зависит от электрического и магнитного полей, а скорость ионов много меньше скорости носителей заряда проводимости. Тогда процессы переноса в такой среде описываются кинетическим уравнением Власова [8]

$$\frac{\partial f_\alpha}{\partial t} + \mathbf{v}_\alpha \frac{\partial f_\alpha}{\partial \mathbf{r}} + q_\alpha (\mathbf{E} + \mathbf{v}_\alpha \times \mathbf{B}) \frac{\partial f_\alpha}{\partial \mathbf{p}} = \hat{I}_\alpha(f_\alpha, f_r), \quad (1)$$

где

$$\hat{I}_\alpha = -\pi q_\alpha^2 q_r^2 L \frac{\partial}{\partial p_i} \int \left[ f_\alpha(t, \mathbf{r}, \mathbf{p}) \frac{\partial f_r(t, \mathbf{r}, \mathbf{p}')}{\partial p'_j} - f_r(t, \mathbf{r}, \mathbf{p}') \frac{\partial f_\alpha(t, \mathbf{r}, \mathbf{p})}{\partial p_j} \right] \left( \delta_{ij} - \frac{p'_i p'_j}{p'^2} \right) \frac{m_\alpha d^3 p'}{p'} \quad (2)$$

— интеграл столкновений Ландау,  $q_r$  — заряд ионов решетки,  $f_\alpha(t, \mathbf{r}, \mathbf{p})$  — функция распределения носителей заряда  $q_\alpha$ ,  $\mathbf{v}_\alpha = \mathbf{p}/m_\alpha$  — их скорость,  $m_\alpha$  — их эффективная масса,  $L$  — кулоновский логарифм. В дальнейшем зависимость функций распределения от температуры предполагается, но явно не указывается. Поскольку ионы

решетки не участвуют в процессах переноса, их функция распределения  $f_r(t, \mathbf{r}, \mathbf{p}')$  рассматривается как независимая. Поэтому интеграл столкновений (2) линейно зависит от  $f_\alpha(t, \mathbf{r}, \mathbf{p})$ , и интегрально-дифференциальное уравнение (1) является линейным относительно функции распределения носителей заряда  $f_\alpha(t, \mathbf{r}, \mathbf{p})$ .

В устойчивом состоянии среды, не испытывающей внешних воздействий, кроме электрического и магнитного полей и тех, которые могут быть описаны функцией распределения решетки  $f_r(t, \mathbf{r}, \mathbf{p}')$ , функции распределения  $f_\alpha(t, \mathbf{r}, \mathbf{p})$  для каждого сорта носителей заряда однозначно определяются заданными магнитным и электрическими полями. Это означает единственность решения интегрально-дифференциального уравнения (1).

Рассмотрим случай, когда поля  $\mathbf{E}$  и  $\mathbf{B}$  постоянные, однородные, не нулевые и не сонаправленные, и введем новые переменные

$$y_1 = \mathbf{r}\mathbf{E}, \quad y_2 = \mathbf{r}\mathbf{B}, \quad y_3 = \mathbf{r}[\mathbf{E} \times \mathbf{B}], \quad (3)$$

$$z_1 = \mathbf{p}\mathbf{E}, \quad z_2 = \mathbf{p}\mathbf{B}, \quad z_3 = \mathbf{p}[\mathbf{E} \times \mathbf{B}],$$

$$z'_1 = \mathbf{p}'\mathbf{E}, \quad z'_2 = \mathbf{p}'\mathbf{B}, \quad z'_3 = \mathbf{p}'[\mathbf{E} \times \mathbf{B}]. \quad (4)$$

Выразим импульс  $\mathbf{p}$  и координату  $\mathbf{r}$  как функцию векторов  $\mathbf{E}$  и  $\mathbf{B}$ , а также переменных (3) и (4), которые являются скалярами и не преобразуются при поворотах системы координат:

$$\mathbf{r} = \frac{B^2 y_1 - \mathbf{E}\mathbf{B}y_2}{|\mathbf{E} \times \mathbf{B}|^2} \mathbf{E} + \frac{E^2 y_2 - \mathbf{E}\mathbf{B}y_1}{|\mathbf{E} \times \mathbf{B}|^2} \mathbf{B} + \frac{y_3 [\mathbf{E} \times \mathbf{B}]}{|\mathbf{E} \times \mathbf{B}|^2}, \quad (5)$$

$$\mathbf{p} = \frac{B^2 z_1 - \mathbf{E}\mathbf{B}z_2}{|\mathbf{E} \times \mathbf{B}|^2} \mathbf{E} + \frac{E^2 z_2 - \mathbf{E}\mathbf{B}z_1}{|\mathbf{E} \times \mathbf{B}|^2} \mathbf{B} + \frac{z_3}{|\mathbf{E} \times \mathbf{B}|^2} [\mathbf{E} \times \mathbf{B}],$$

$$\mathbf{p}' = \frac{B^2 z'_1 - \mathbf{E}\mathbf{B}z'_2}{|\mathbf{E} \times \mathbf{B}|^2} \mathbf{E} + \frac{E^2 z'_2 - \mathbf{E}\mathbf{B}z'_1}{|\mathbf{E} \times \mathbf{B}|^2} \mathbf{B} + \frac{z'_3}{|\mathbf{E} \times \mathbf{B}|^2} [\mathbf{E} \times \mathbf{B}]. \quad (6)$$

Преобразования (3)–(6) взаимно однозначны и

$$\frac{\partial f_\alpha}{\partial \mathbf{r}} = \mathbf{E} \frac{\partial F_\alpha}{\partial y_1} + \mathbf{B} \frac{\partial F_\alpha}{\partial y_2} + [\mathbf{E} \times \mathbf{B}] \frac{\partial F_\alpha}{\partial y_3}, \quad (7)$$

$$\frac{\partial f_\alpha}{\partial \mathbf{p}} = \mathbf{E} \frac{\partial F_\alpha}{\partial z_1} + \mathbf{B} \frac{\partial F_\alpha}{\partial z_2} + [\mathbf{E} \times \mathbf{B}] \frac{\partial F_\alpha}{\partial z_3},$$

$$\frac{\partial f_r}{\partial \mathbf{p}'} = \mathbf{E} \frac{\partial F_r}{\partial z'_1} + \mathbf{B} \frac{\partial F_r}{\partial z'_2} + [\mathbf{E} \times \mathbf{B}] \frac{\partial F_r}{\partial z'_3}, \quad (8)$$

где функции распределения  $F_\alpha(t, \mathbf{y}, \mathbf{z})$  получаются из функций  $f_\alpha(t, \mathbf{r}, \mathbf{p})$  заменой переменных (5) и (6). При этом

$$f_\alpha(t, \mathbf{r}, \mathbf{p}) = F_\alpha(t, y_1, y_2, y_3, z_1, z_2, z_3),$$

$$f_r(t, \mathbf{r}, \mathbf{p}') = F_r(t, y_1, y_2, y_3, z'_1, z'_2, z'_3). \quad (9)$$

Тогда уравнение (1) с учетом формул (3), (7)–(9) преобразуется к виду

$$\begin{aligned} \frac{\partial F_\alpha}{\partial t} + \frac{z_1}{m_\alpha} \frac{\partial F_\alpha}{\partial y_1} + \frac{z_2}{m_\alpha} \frac{\partial F_\alpha}{\partial y_2} + \frac{z_3}{m_\alpha} \frac{\partial F_\alpha}{\partial y_3} \\ + q_\alpha E^2 \frac{\partial F_\alpha}{\partial z_1} + \left( E^2 + \frac{y_3}{m_\alpha} \right) \frac{\partial F_\alpha}{\partial z_1} + \mathbf{E}\mathbf{B} \frac{\partial F_\alpha}{\partial z_2} \\ + (B^2 y_1 - \mathbf{E}\mathbf{B}y_2) \frac{\partial F_\alpha}{\partial z_3} = \tilde{I}_\alpha(F_\alpha, F_r). \end{aligned} \quad (10)$$

Здесь оператор  $\tilde{I}_\alpha(F_\alpha, F_r)$  получается из оператора (2) заменой переменных (5) и (6). С учетом формул (4) якобиан преобразований (6)  $J = |\mathbf{E} \times \mathbf{B}|^{-2}$  и модуль импульса инвариантны относительно одновременной инверсии полей  $\mathbf{E}$  и  $\mathbf{B}$ :

$$J(-\mathbf{E}, -\mathbf{B}) = J(\mathbf{E}, \mathbf{B}),$$

$$p'(z'_1, z'_2, z'_3, -\mathbf{E}, -\mathbf{B}) = p'(z'_1, z'_2, z'_3, \mathbf{E}, \mathbf{B}). \quad (11)$$

Преобразуем производные функций распределения в интеграле столкновений (2) с учетом формул (4) и (8)

$$\begin{aligned} p'_i p'_j \frac{\partial^2 f_\alpha}{\partial p'_i \partial p'_j} = z_1'^2 \frac{\partial^2 F_\alpha}{\partial z_1'^2} + z_2'^2 \frac{\partial^2 F_\alpha}{\partial z_2'^2} + z_3'^2 \frac{\partial^2 F_\alpha}{\partial z_3'^2} \\ + 2z_1' z_2' \frac{\partial^2 F_\alpha}{\partial z_1' \partial z_2'} + 2z_1' z_3' \frac{\partial^2 F_\alpha}{\partial z_1' \partial z_3'} + 2z_2' z_3' \frac{\partial^2 F_\alpha}{\partial z_2' \partial z_3'}. \end{aligned}$$

Остальные слагаемые в интеграле столкновений (2) вычисляются аналогично. Тогда из формулы (11) следует, что интеграл столкновений в правой части уравнения (10) тоже инвариантен относительно одновременной инверсии полей  $\mathbf{E}$  и  $\mathbf{B}$ :

$$\tilde{I}_\alpha(t, \mathbf{r}, -\mathbf{E}, -\mathbf{B}) = \tilde{I}_\alpha(t, \mathbf{r}, \mathbf{E}, \mathbf{B}).$$

Следовательно, уравнение (10) в новых переменных (3) и (4) инвариантно относительно одновременной инверсии полей  $\mathbf{E}$  и  $\mathbf{B}$ .

Ограничимся рассмотрением устойчивых состояний среды. Тогда единственное решение инвариантного относительно одновременной инверсии полей  $\mathbf{E}$  и  $\mathbf{B}$  уравнения (10) также инвариантно относительно одновременной инверсии полей  $\mathbf{E}$  и  $\mathbf{B}$ :

$$F_\alpha(t, \mathbf{y}, \mathbf{z}, -\mathbf{E}, -\mathbf{B}) = F_\alpha(t, \mathbf{y}, \mathbf{z}, \mathbf{E}, \mathbf{B}). \quad (12)$$

Выполним в материальном уравнении среды

$$\mathbf{j}(t, \mathbf{r}) = \sum_\alpha \int \frac{q_\alpha c_\alpha \mathbf{p}}{m_\alpha} f_\alpha(t, \mathbf{r}, \mathbf{p}) d^3 p,$$

где  $c_\alpha$  — концентрация носителей заряда  $q_\alpha$ , замену переменных (6) с учетом формулы (9)

$$\begin{aligned} \mathbf{j}(t, \mathbf{r}) = K_1(t, \mathbf{r}, \mathbf{E}, \mathbf{B})\mathbf{E} + K_2(t, \mathbf{r}, \mathbf{E}, \mathbf{B})\mathbf{B} \\ + K_3(t, \mathbf{r}, \mathbf{E}, \mathbf{B})[\mathbf{E} \times \mathbf{B}], \end{aligned} \quad (13)$$

где

$$K_1(t, \mathbf{r}, \mathbf{E}, \mathbf{B}) = \frac{1}{|\mathbf{E} \times \mathbf{B}|^4} \sum_{\alpha} \frac{c_{\alpha} q_{\alpha}}{m_{\alpha}} \times \int \{B^2 z_1 - \mathbf{E} \mathbf{B} z_2\} F_{\alpha}(t, \mathbf{y}, \mathbf{z}) d^3 z,$$

$$K_2(t, \mathbf{r}, \mathbf{E}, \mathbf{B}) = \frac{1}{|\mathbf{E} \times \mathbf{B}|^4} \sum_{\alpha} \frac{c_{\alpha} q_{\alpha}}{m_{\alpha}} \times \int \{E^2 z_2 - \mathbf{E} \mathbf{B} y_1\} F_{\alpha}(t, \mathbf{y}, \mathbf{z}) d^3 z,$$

$$K_3(t, \mathbf{r}, \mathbf{E}, \mathbf{B}) = \frac{1}{|\mathbf{E} \times \mathbf{B}|^4} \sum_{\alpha} \frac{c_{\alpha} q_{\alpha}}{m_{\alpha}} \int z_3 F_{\alpha}(t, \mathbf{y}, \mathbf{z}) d^3 z.$$

Из формул (12) и (13) следует, что

$$K_n(t, \mathbf{r}, \mathbf{E}, \mathbf{B}) = K_n(t, \mathbf{r}, -\mathbf{E}, -\mathbf{B}), \quad n = 1, 2, 3.$$

Коэффициенты  $K_n(\mathbf{E}, \mathbf{B})$  не определены при  $\mathbf{E} = 0$  и  $\mathbf{B} = 0$ . В слабом электрическом поле  $|\mathbf{E}| \ll E_T = \varphi_T / l_T$ , где  $\varphi_T = kT/q$  — тепловой потенциал основных носителей заряда, материальное уравнение стационарной, однородной и изотропной среды в магнитном поле имеет вид закона Ома, в котором к силе Кулона добавлена сила Лоренца

$$\mathbf{j} = cqv \left( \mathbf{E} + \frac{1}{c} [\mathbf{j} \times \mathbf{B}] \right),$$

где  $\nu$  — подвижность основных носителей заряда. Решая это уравнение относительно вектора плотности тока  $\mathbf{j}$ , получим

$$\mathbf{j} = \frac{\sigma}{1 + |\nu \mathbf{B}|^2} \mathbf{E} + \frac{\sigma \nu^2 (\mathbf{E} \mathbf{B})}{1 + |\nu \mathbf{B}|^2} \mathbf{B} + \frac{\sigma \nu}{1 + |\nu \mathbf{B}|^2} [\mathbf{E} \times \mathbf{B}], \quad (14)$$

где  $\sigma = cqv$  — проводимость среды в нулевых электрическом и магнитном полях.

Сравнивая соотношения (13) и (14), запишем материальное уравнение нелинейной среды в виде

$$\begin{aligned} \mathbf{j}(t, \mathbf{r}) = & \sigma \{ 1 + \alpha(t, \mathbf{r}, \mathbf{E}/E_T, \nu \mathbf{B}) \} \mathbf{E} \\ & + \sigma \nu E_T \beta(t, \mathbf{r}, \mathbf{E}/E_T, \nu \mathbf{B}) \mathbf{B} \\ & + \sigma \nu \gamma(t, \mathbf{r}, \mathbf{E}/E_T, \nu \mathbf{B}) [\mathbf{E} \times \mathbf{B}]. \end{aligned} \quad (15)$$

Здесь

$$\alpha(t, \mathbf{r}, \mathbf{E} = 0, \mathbf{B} = 0) = \beta(t, \mathbf{r}, \mathbf{E} = 0, \mathbf{B} = 0) = 0,$$

$$\gamma(t, \mathbf{r}, \mathbf{E} = 0, \mathbf{B} = 0) = 1,$$

и в соответствии с формулой (11)

$$\begin{aligned} \alpha(t, \mathbf{r}, -\mathbf{E}, -\mathbf{B}) &= \alpha(t, \mathbf{r}, \mathbf{E}, \mathbf{B}), \\ \beta(t, \mathbf{r}, -\mathbf{E}, -\mathbf{B}) &= \beta(t, \mathbf{r}, \mathbf{E}, \mathbf{B}), \\ \gamma(t, \mathbf{r}, -\mathbf{E}, -\mathbf{B}) &= \gamma(t, \mathbf{r}, \mathbf{E}, \mathbf{B}). \end{aligned} \quad (16)$$

### Квазистационарное приближение

Рассмотрим обобщенную конструкцию объемного многополюсника  $D$  с линейными размерами, много большими  $l_T$ , где  $l_T$  — средняя длина свободного пробега носителей заряда, с  $M$  контактами ( $S_m, m = 1, 2, \dots, M$ ). Пусть  $\mathbf{B} = \mathbf{B}_e + \mathbf{B}'$  — полная индукция магнитного поля в элементе,  $\mathbf{B}_e$  — поле, созданное внешними источниками,  $\mathbf{B}'$  — поле токов, текущих через многополюсник. При этом

$$\text{rot } \mathbf{B}_e = 0, \quad \text{rot } \mathbf{B}' = \mu_0 \mathbf{j}. \quad (17)$$

Материальное уравнение (15) получено для однородных и постоянных электрического и магнитного полей и является локальным. Нелокальность проявляется, когда поля существенно меняются на расстоянии порядка длины свободного пробега. Если  $|\partial E_i / \partial r_j| \ll |\mathbf{E}| / l_T, |\partial B_i / \partial r_j| \ll |\mathbf{B}| / l_T, i, j = 1, 2, 3$ , эффектом нелокальности можно пренебречь и считать, что

$$|\text{grad } \alpha| \ll |\alpha| / l_T, \quad |\text{grad } \beta| \ll |\beta| / l_T, \quad |\text{grad } \gamma| \ll |\gamma| / l_T.$$

В квазистационарном случае, когда ток смещения много меньше тока проводимости, диэлектрическая и магнитная проницаемости среды являются константами, уравнение непрерывности  $\text{div } \mathbf{j} = 0$  с учетом материального уравнения (15) в безразмерных координатах  $\mathbf{x} = \mathbf{r} / l_T$  принимает вид

$$\Delta \varphi = -\mu_0 \sigma \nu \gamma |\nabla \varphi|^2 - \frac{\mu_0 \varphi_T \sigma \nu \beta \gamma}{1 + \alpha} \nabla(\varphi) \mathbf{b}, \quad (18)$$

где

$$\mathbf{E} = -\text{grad } \varphi - \frac{\partial \mathbf{A}}{\partial t}, \quad \mathbf{B} = \text{rot } \mathbf{A}, \quad (19)$$

$\varphi$  — электростатический потенциал,  $\mathbf{b} = \nu \mathbf{B}$ ,  $\mathbf{A}$  — векторный потенциал в кулоновской калибровке  $\text{div } \mathbf{A} = 0$ , а оператор  $\nabla$  берется по безразмерным координатам  $\mathbf{x}$ . Второе уравнение (17) в кулоновской калибровке принимает вид  $\Delta \mathbf{A} = -\mu_0 \mathbf{j}$ , его решение

$$\mathbf{A}(\mathbf{r}) = \frac{\mu_0}{4\pi} \int_D \frac{\mathbf{j}(\mathbf{r}')}{|\mathbf{r} - \mathbf{r}'|} d^3 r'. \quad (20)$$

Пусть в область  $D$ , ограниченную поверхностью  $S$ , через соответствующие контактные поверхности  $S_m$  втекают токи  $I_m$ . Условие для нормальной компоненты плотности тока на границе  $S$  имеет вид

$$j_n(\mathbf{x})|_S = -\frac{1}{l_T^2} \sum_{m=1}^M I_m g_m(\mathbf{x}), \quad (21)$$

где  $g_m(\mathbf{x})$  — функция-носитель поверхности  $S_m$ :

$$\oint_{S_m} g_m(\mathbf{x}) ds = 1, \quad g_m(\mathbf{x} \notin S_m) \equiv 0. \quad (22)$$

Из уравнения (18) в этом случае следует, что распределение потенциала является решением внутренней

смешанной задачи, когда на границе области задана линейная комбинация нормальной и тангенциальной производных потенциала

$$\left( (1 + \alpha) \frac{\partial \varphi}{\partial n} - \beta \nu \varphi_T \mathbf{Bn} + \gamma \nu \left[ \frac{\partial \varphi}{\partial \mathbf{x}} \times \mathbf{B} \right] \mathbf{n} + (1 + \alpha) \frac{\partial \mathbf{A}}{\partial t} \mathbf{n} \right) \Big|_S = -\frac{1}{\sigma l_T} \sum_{m=1}^M I_m g_m(\mathbf{x}), \quad (23)$$

где  $\mathbf{n}$  — внешняя нормаль поверхности  $S$ .

Примем за ноль средний по поверхности  $S$  тела  $D$  электростатический потенциал и будем искать совместное решение уравнений (18) и (20) с граничными условиями (23) методом последовательных приближений. Перейдем к безразмерным величинам

$$\begin{aligned} \varphi(\mathbf{x}) &= \varphi_T \psi(\mathbf{x}), \quad \psi(\mathbf{x}) = \psi_0(\mathbf{x}) + \delta \psi_1(\mathbf{x}) + \dots, \\ \mathbf{E}(\mathbf{x}) &= \varphi_T \mathbf{e}(\mathbf{x}) / l_T, \quad \mathbf{A}(\mathbf{x}) = l_T \mathbf{a}(\mathbf{x}) / \nu \\ \mathbf{e}(\mathbf{x}) &= \mathbf{e}_0(\mathbf{x}) + \delta \mathbf{e}_1(\mathbf{x}) + \dots, \\ \mathbf{a}(\mathbf{x}) &= \mathbf{a}_0(\mathbf{x}) + \delta \mathbf{a}_1(\mathbf{x}) + \dots, \\ \mathbf{b}'(\mathbf{x}) &= \mathbf{b}_0(\mathbf{x}) + \delta \mathbf{b}_1(\mathbf{x}) + \dots, \end{aligned}$$

где

$$\begin{aligned} \delta &= \mu_0 \varphi_T \sigma \nu, \quad 0 < \delta < 1, \quad \alpha_0 = \alpha(\mathbf{e}_0, \mathbf{b}_0), \\ \beta_0 &= \beta(\mathbf{e}_0, \mathbf{b}_0), \quad \gamma_0 = \gamma(\mathbf{e}_0, \mathbf{b}_0). \end{aligned}$$

В линейном по слабому внешнему полю  $|\mathbf{B}_e| \ll 1/\nu$  приближении уравнения (18) и (23) эквивалентны цепочке краевых задач Неймана для уравнений Лапласа и Пуассона,

$$\Delta \psi_0 = 0, \quad \frac{\partial \psi_0}{\partial n} \Big|_S = -\frac{1}{l_T} \sum_{m=1}^M I_m g_m(\mathbf{x}), \quad (24)$$

$$\begin{aligned} \nabla \times \mathbf{b}_0 &= -\delta(1 + \alpha_0) \nabla \psi_0 + \delta \beta_0 \mathbf{b}_0 - \delta \gamma_0 [\nabla \psi_0 \times \mathbf{b}_0], \\ \nabla \mathbf{b}_0 &= 0, \quad \nabla \times \mathbf{b}_e = 0, \quad \nabla \mathbf{b}_e = 0, \quad (25) \end{aligned}$$

$$\nabla \psi_1 = -\gamma_0 |\nabla \psi_0|^2 - \frac{\gamma_0 \beta_0}{1 + \alpha_0} (\mathbf{b}_0 + \mathbf{b}_e) \nabla \psi_0,$$

$$\begin{aligned} \frac{\partial \psi_1}{\partial n} \Big|_S &= -\frac{\gamma_0}{\delta(1 + \alpha_0)} \left[ \frac{\partial \psi_0}{\partial \mathbf{x}} \times (\mathbf{b}_0 + \mathbf{b}_e) \right] \mathbf{n} \Big|_S \\ &+ \frac{\beta_0 (\mathbf{b}_0 + \mathbf{b}_e) \mathbf{n}}{\delta(1 + \alpha_0)} \Big|_S - \frac{\alpha_0 \mathbf{n}}{\delta(1 + \alpha_0)} \frac{\partial \psi_0}{\partial \mathbf{x}} \Big|_S - \frac{\partial \mathbf{an}}{\partial \tau} \Big|_S, \quad (26) \end{aligned}$$

где обозначено  $I_T = \sigma \varphi_T l_T$ ,  $\tau = \frac{\nu \varphi_T}{l_T^2} t$  — безразмерное время.

Решение внутренней краевой задачи (24) при выполнении вытекающего из первого закона Кирхгофа условия

$$\oint_S \sum_{m=1}^M I_m g_m(\mathbf{x}) ds = 0$$

существует и имеет вид

$$\psi_0(\mathbf{x}) = \frac{1}{I_T} \sum_{m=1}^M I_m \oint_S G(\mathbf{x}, \mathbf{x}') g_m(\mathbf{x}') ds' + C, \quad (27)$$

где  $G(\mathbf{x} \in D, \mathbf{x}' \in D)$  — функция Грина задачи Неймана для области  $D$ , ограниченной поверхностью  $S$ ,  $C$  — константа, которая определяется при выборе нулевого потенциала [9]. Поскольку за ноль принят средний по поверхности тела  $S$  потенциал, из формул (21) и (27) следует, что

$$-\frac{l_T^2}{I_T} \oint_S \left[ \oint_S G(\mathbf{x}, \mathbf{x}') ds \right] j_n(\mathbf{x}') ds' + CS = 0.$$

При выполнении дополнительного условия

$$\oint_S G(\mathbf{x}, \mathbf{x}') ds = 0$$

получаем  $C = 0$ , а функция Грина задачи Неймана, удовлетворяющая этому условию, является единственной и симметричной [9]:

$$G(\mathbf{x}, \mathbf{x}') = G(\mathbf{x}', \mathbf{x}). \quad (28)$$

Поскольку поле  $\mathbf{B}'(\mathbf{r})$  создается только токами в области  $D$ , уравнение (20) для безразмерных величин в первом приближении, когда холловский ток много меньше тока проводимости, имеет вид

$$\begin{aligned} \mathbf{a}_0(\mathbf{x}) &= -\frac{\delta}{4\pi} \int_D \frac{\partial \psi_0(\mathbf{x}') / \partial \mathbf{x}'}{|\mathbf{x} - \mathbf{x}'|} d^3 x', \\ \mathbf{b}_0(\mathbf{x}) &= -\frac{\delta}{4\pi} \int_D \left[ \frac{\partial \psi_0(\mathbf{x}')}{\partial \mathbf{x}'} \times \frac{\mathbf{x} - \mathbf{x}'}{|\mathbf{x} - \mathbf{x}'|^3} \right] d^3 x'. \quad (29) \end{aligned}$$

Введем  $M$ -мерный вектор  $\mathbf{I}$  с компонентами  $I_1, \dots, I_M$ . Из уравнений (27) следует, что  $\psi_0(\mathbf{x}, \mathbf{I}) = -\psi_0(\mathbf{x}, -\mathbf{I})$ . Тогда с учетом формул (19) и (28) получим

$$\mathbf{a}_0(\mathbf{x}, \mathbf{I}) = \mathbf{a}_0(\mathbf{x}, -\mathbf{I}), \quad \mathbf{b}_0(\mathbf{x}, \mathbf{I}) = \mathbf{b}_0(\mathbf{x}, -\mathbf{I}),$$

$$\mathbf{e}_0(\mathbf{x}, \mathbf{I}) = \mathbf{e}_0(\mathbf{x}, -\mathbf{I}),$$

$$\alpha_0(\mathbf{x}, \mathbf{I}) = \alpha_0(\mathbf{x}, -\mathbf{I}), \quad \beta_0(\mathbf{x}, \mathbf{I}) = \beta_0(\mathbf{x}, -\mathbf{I}),$$

$$\gamma_0(\mathbf{x}, \mathbf{I}) = \gamma_0(\mathbf{x}, -\mathbf{I}),$$

$$\mathbf{e}_0(\mathbf{x}, 0) = 0, \quad \mathbf{b}_0(\mathbf{x}, 0) = 0,$$

$$\alpha_0(\mathbf{x}, 0) = 0, \quad \beta_0(\mathbf{x}, 0) = 0, \quad \gamma_0(\mathbf{x}, 0) = 1. \quad (30)$$

Если многополюсник  $D$  электрически нейтрален, то поток вектора  $\mathbf{e}_0$  через его поверхность  $S$  по теореме

Гаусса равен нулю. Поток вектора  $\mathbf{b}_0$  через поверхность  $S$  тела всегда равен нулю. Тогда с учетом уравнений (15), (19) и (25) в кулоновской калибровке получаем

$$\begin{aligned} & \frac{1}{\delta} \oint_S \frac{\gamma_0}{1 + \alpha_0} [\nabla\psi_0 \times (\mathbf{b}_0 + \mathbf{b}_e)] ds + \oint_S \frac{\partial \mathbf{a}}{\partial \tau} ds \\ &= \int_D \frac{\gamma_0}{1 + \alpha_0} |\nabla\psi_0|^2 d^3r + \int_D \frac{\gamma_0 \beta_0}{1 + \alpha_0} (\nabla\psi_0)(\mathbf{b}_0 + \mathbf{b}_e) d^3r. \end{aligned}$$

Таким образом, условие разрешимости краевой задачи (26) выполняется, и ее решение имеет вид [9]

$$\begin{aligned} \psi_1(\mathbf{x}) &= \int_D \gamma_0(\mathbf{x}') G(\mathbf{x}, \mathbf{x}') \left\{ \left| \frac{\partial \psi_0}{\partial \mathbf{x}'} \right|^2 + \frac{1}{\delta} \frac{\beta_0(\mathbf{x}')}{1 + \alpha_0(\mathbf{x}')} \right. \\ &\times \frac{\partial \psi_0}{\partial \mathbf{x}'} (\mathbf{b}_0(\mathbf{x}') + \mathbf{b}_e(\mathbf{x}')) \left. \right\} d^3x' + \frac{1}{\delta} \oint_S \frac{\alpha_0(\mathbf{x}')}{1 + \alpha_0(\mathbf{x}')} G(\mathbf{x}, \mathbf{x}') \\ &\times \frac{\partial \psi_0}{\partial \mathbf{x}'} ds' - \frac{1}{\delta} \oint_S \frac{\beta_0(\mathbf{x}')}{1 + \alpha_0(\mathbf{x}')} G(\mathbf{x}, \mathbf{x}') (\mathbf{b}_0(\mathbf{x}') + \mathbf{b}_e(\mathbf{x}')) ds' \\ &+ \frac{1}{\delta} \oint_S \frac{\gamma_0(\mathbf{x}')}{1 + \alpha_0(\mathbf{x}')} G(\mathbf{x}, \mathbf{x}') \left[ \frac{\partial \psi_0}{\partial \mathbf{x}'} \times (\mathbf{b}_0(\mathbf{x}') + \mathbf{b}_e(\mathbf{x}')) \right] ds' \\ &+ \frac{\partial}{\partial \tau} \oint_S G(\mathbf{x}, \mathbf{x}') \mathbf{a}(\mathbf{x}') ds'. \end{aligned}$$

Преобразуя поверхностные интегралы в интегралы по объему  $D$  и учитывая формулу (27), получим окончательное выражение для потенциала  $\psi$ :

$$\begin{aligned} \psi(\mathbf{x}) &= \frac{1}{I_T} \sum_{m=1}^M I_m \oint_S G(\mathbf{x}, \mathbf{x}') g_m(\mathbf{x}') ds' \\ &+ \int_D \frac{\gamma_0(\mathbf{x}') (\nu \mathbf{B}_e(\mathbf{x}') - \mathbf{b}_0(\mathbf{x}'))}{1 + \alpha_0(\mathbf{x}')} \left[ \frac{\partial G(\mathbf{x}, \mathbf{x}')}{\partial \mathbf{x}'} \frac{\partial \psi_0}{\partial \mathbf{x}'} \right] d^3x' \\ &+ \int_D \frac{\partial G(\mathbf{x}, \mathbf{x}')}{\partial \mathbf{x}'} \left\{ \frac{\partial \mathbf{a}(\mathbf{x}')}{\partial \tau} - \frac{1}{1 + \alpha_0(\mathbf{x}')} \left( \beta_0(\mathbf{x}') \nu \mathbf{B}_e(\mathbf{x}') \right. \right. \\ &\left. \left. - \beta_0(\mathbf{x}') \mathbf{b}_0(\mathbf{x}') + \alpha_0(\mathbf{x}') \frac{\partial \psi_0}{\partial \mathbf{x}'} \right) \right\} d^3x' + C. \end{aligned} \quad (31)$$

### Измеряемые потенциалы и взаимность

Формула (30) совместно с формулами (27) и (28) позволяет получить потенциал внутри и на поверхности многополюсника. Однако места контактов, к которым прикреплены проводники, не могут рассматриваться как точечные. Измеряемое напряжение при этом равно разности потенциалов между сечениями проводников, подводимых к многополюснику, выбранными на некотором расстоянии от активной зоны элемента.

Пусть к контакту с номером  $k$  подключен измеритель напряжения, через который в общую шину течет ток  $I_k$ . Будем считать, что через боковую поверхность провода ток не течет, а вольтметр подключен к достаточно удаленному от активной зоны преобразователя сечению, которое является эквипотенциальным. Мощность тепловых потерь в подводящем проводе с учетом условия  $\text{div}(\mathbf{j}) = 0$  и формул (21) и (22) имеет вид

$$\begin{aligned} \frac{dQ}{dt} &= I_T^2 \int_{C_k} \mathbf{j}(\mathbf{x}) \mathbf{E}(\mathbf{x}) d^3x \\ &= I_k \left( \varphi_k - \oint_S \varphi(\mathbf{x}) g_k(\mathbf{x}) ds \right) = I_k^2 R_{Uk}. \end{aligned}$$

Здесь  $C_k$  — внутренняя область проводника, соединенного к  $k$ -й площадке,  $R_{Uk}$  — его омическое сопротивление,  $\varphi_k$  — потенциал на эквипотенциальном сечении проводника, удаленном от магнитоактивной зоны. Отсюда

$$\varphi_k - \oint_S \varphi(\mathbf{x}) g_k(\mathbf{x}) ds = I_k R_{Uk}.$$

Для потенциала, измеряемого идеальным вольтметром при токе  $I_k$ , стремлящемся к нулю, получаем

$$\varphi_k = \varphi_T \oint_S g_k(\mathbf{x}) \psi(\mathbf{x}) ds.$$

Используя соотношения (31) и (22), получим

$$\varphi_k(\mathbf{I}, \mathbf{B}_e) = \sum_{m=1}^M R_{km}(\mathbf{I}, \mathbf{B}_e) I_m + \sum_{m=1}^M L_{km} \frac{dI_m}{dt} + C, \quad (32)$$

где в приближении малого поля в соответствии с формулами (30)

$$\frac{\beta_0(\mathbf{e}_0, \mathbf{b}_0)}{1 + \alpha_0(\mathbf{e}_0, \mathbf{b}_0)} = h_1 \mathbf{e}_0 \mathbf{e}_0 + h_2 \mathbf{e}_0 \mathbf{b}_0 + h_3 \mathbf{b}_0 \mathbf{b}_0 + \dots$$

Тогда

$$R_{km}(\mathbf{I}, \mathbf{B}_e) = R_{km}^A + R_{km}^H(\mathbf{B}_e) + R_{km}^{NL}(\mathbf{I}, \mathbf{B}_e), \quad (33)$$

$$R_{km}^A = R_T \oint_S \oint_S g_k(\mathbf{x}) g_m(\mathbf{x}') G(\mathbf{x}, \mathbf{x}') ds ds', \quad (34)$$

$$\begin{aligned} R_{km}^H(\mathbf{B}_e) &= \nu R_T \int_D \mathbf{B}_e(\mathbf{x}') \oint_S \oint_S \left[ \frac{\partial G(\mathbf{x}', \mathbf{x}'')}{\partial \mathbf{x}'} \right. \\ &\times \left. \frac{\partial G(\mathbf{x}, \mathbf{x}')}{\partial \mathbf{x}'} \right] g_k(\mathbf{x}) g_m(\mathbf{x}'') ds ds'' d^3x', \end{aligned} \quad (35)$$

$$R_{km}^{NL}(\mathbf{I}) = \widehat{R}_{km}^{NL}(\mathbf{I}) + \widetilde{R}_{km}^{NL}(\mathbf{I}), \quad (36)$$

$$\begin{aligned}
\widehat{R}_{km}^{NL}(\mathbf{I}) &= R_T \int_D \frac{\gamma_0(\mathbf{x}', \mathbf{I}) \mathbf{b}_0(\mathbf{x}', \mathbf{I})}{1 + \alpha_0(\mathbf{x}', \mathbf{I})} \\
&\times \oint_S \oint_S \left[ \frac{\partial G(\mathbf{x}', \mathbf{x}'')}{\partial \mathbf{x}'} \frac{\partial G(\mathbf{x}, \mathbf{x}')}{\partial \mathbf{x}'} \right] g_k(\mathbf{x}) g_m(\mathbf{x}'') ds ds'' d^3 x' \\
&+ R_T \int_D \frac{\alpha_0(\mathbf{x}', \mathbf{I})}{1 + \alpha_0(\mathbf{x}', \mathbf{I})} \oint_S \oint_S \frac{\partial G(\mathbf{x}', \mathbf{x}'')}{\partial \mathbf{x}'} \\
&\times \frac{\partial G(\mathbf{x}, \mathbf{x}')}{\partial \mathbf{x}'} g_k(\mathbf{x}) g_m(\mathbf{x}'') ds ds'' d^3 x' + \frac{\delta R_T}{4\pi} \\
&\times \int_D \int_D \frac{\beta_0(\mathbf{x}', \mathbf{I})}{1 + \alpha_0(\mathbf{x}', \mathbf{I})} \oint_S \oint_S \frac{\mathbf{x}' - \mathbf{x}'''}{|\mathbf{x}' - \mathbf{x}'''}|^3 \left[ \frac{\partial G(\mathbf{x}', \mathbf{x}'')}{\partial \mathbf{x}'} \right. \\
&\times \left. \frac{\partial G(\mathbf{x}, \mathbf{x}')}{\partial \mathbf{x}'} \right] g_k(\mathbf{x}) g_m(\mathbf{x}'') ds ds'' d^3 x' d^3 x''', \quad (37)
\end{aligned}$$

$$\begin{aligned}
\widetilde{R}_{km}^{NL}(\mathbf{I}) &= \nu R_T \int_D \left\{ 1 - \frac{\gamma_0(\mathbf{x}', \mathbf{I})}{1 + \alpha_0(\mathbf{x}', \mathbf{I})} \right\} \\
&\times \mathbf{B}_e(\mathbf{x}') \oint_S \oint_S \left[ \frac{\partial G(\mathbf{x}', \mathbf{x}'')}{\partial \mathbf{x}'} \frac{\partial G(\mathbf{x}, \mathbf{x}')}{\partial \mathbf{x}'} \right] \\
&\times g_k(\mathbf{x}) g_m(\mathbf{x}'') ds ds'' d^3 x' - \nu R_T \\
&\times \int_D \{h_1 \mathbf{e}_0(\mathbf{x}') + h_2 \mathbf{b}_0(\mathbf{x}')\} \mathbf{B}_e(\mathbf{x}') \\
&\times \oint_S \oint_S \frac{\partial G(\mathbf{x}', \mathbf{x}'')}{\partial \mathbf{x}'} \frac{\partial G(\mathbf{x}, \mathbf{x}')}{\partial \mathbf{x}'} \\
&\times g_k(\mathbf{x}) g_m(\mathbf{x}'') ds ds'' d^3 x' - \frac{\nu R_T \delta}{4\pi} \\
&\times \int_D \int_D h_3 \mathbf{b}_0(\mathbf{x}') \mathbf{B}_e(\mathbf{x}') \oint_S \oint_S \frac{\mathbf{x}' - \mathbf{x}'''}{|\mathbf{x}' - \mathbf{x}'''}|^3 \\
&\times \left[ \frac{\partial G(\mathbf{x}', \mathbf{x}'')}{\partial \mathbf{x}'} \frac{\partial G(\mathbf{x}, \mathbf{x}')}{\partial \mathbf{x}'} \right] \\
&\times g_k(\mathbf{x}) g_m(\mathbf{x}'') ds ds'' d^3 x' d^3 x''', \quad (38)
\end{aligned}$$

$$\begin{aligned}
L_{km} &= \frac{\mu_0 l_T}{4\pi} \int_D \int_D \oint_S \oint_S \frac{\partial G(\mathbf{x}''', \mathbf{x}'')}{\partial \mathbf{x}'''} \frac{\partial G(\mathbf{x}, \mathbf{x}')}{\partial \mathbf{x}'} \\
&\times \frac{g_k(\mathbf{x}) g_m(\mathbf{x}'')}{|\mathbf{x}' - \mathbf{x}'''}| ds ds'' d^3 x' d^3 x''', \quad (39)
\end{aligned}$$

и обозначено  $R_T = \varphi_T / I_T$ . Тогда из уравнений (34) и (29) непосредственно следует, что

$$R_{km}^A = R_{mk}^A. \quad (40)$$

Преобразуя внутренний двойной поверхностный интеграл в уравнении (35) в произведение поверхностного

интеграла по переменной  $\mathbf{x}''$  на поверхностный интеграл по переменной  $\mathbf{x}$ , получим с учетом условия (28)

$$R_{km}^H = \nu R_T \int_D \mathbf{B}_e(\mathbf{x}') [\Gamma_m(\mathbf{x}') \times \Gamma_k(\mathbf{x}')] d^3 x', \quad (41)$$

где обозначено

$$\Gamma_m(\mathbf{x}') = \oint_S \frac{\partial G(\mathbf{x}, \mathbf{x}')}{\partial \mathbf{x}'} g_m(\mathbf{x}) ds. \quad (42)$$

Из соотношения (41) видно, что

$$R_{km}^H(\mathbf{B}_e(\mathbf{r})) = R_{mk}^H(-\mathbf{B}_e(\mathbf{r})) = -R_{mk}^H(\mathbf{B}_e(\mathbf{r})). \quad (43)$$

Аналогичными преобразованиями интегралы в правой части формул (37)–(39) с учетом условия (28) приводятся к виду

$$\begin{aligned}
\widehat{R}_{km}^{NL} &= R_T \int_D \frac{\gamma_0(\mathbf{x}', \mathbf{I}) \mathbf{b}_0(\mathbf{x}', \mathbf{I})}{1 + \alpha_0(\mathbf{x}', \mathbf{I})} [\Gamma_m(\mathbf{x}') \times \Gamma_k(\mathbf{x}')] d^3 x' \\
&+ R_T \int_D \frac{\alpha_0(\mathbf{x}', \mathbf{I})}{1 + \alpha_0(\mathbf{x}', \mathbf{I})} \Gamma_m(\mathbf{x}') \Gamma_k(\mathbf{x}') d^3 x' + \frac{\delta R_T}{4\pi} \\
&\times \int_D \int_D \frac{\beta_0(\mathbf{x}', \mathbf{I})}{1 + \alpha_0(\mathbf{x}', \mathbf{I})} \frac{\mathbf{x}' - \mathbf{x}'''}{|\mathbf{x}' - \mathbf{x}'''}|^3 [\Gamma_m(\mathbf{x}') \times \Gamma_k(\mathbf{x}'')] d^3 x' d^3 x'', \\
\widetilde{R}_{km}^{NL} &= \nu R_T \int_D \frac{1 + \alpha_0(\mathbf{x}', \mathbf{I}) - \gamma_0(\mathbf{x}', \mathbf{I})}{1 + \alpha_0(\mathbf{x}', \mathbf{I})} \mathbf{B}_e(\mathbf{x}') \\
&\times [\Gamma_m(\mathbf{x}') \times \Gamma_k(\mathbf{x}')] d^3 x' + \nu R_T \\
&\times \int_D \{h_1 \mathbf{e}_0(\mathbf{x}') + h_2 \mathbf{b}_0(\mathbf{x}')\} \mathbf{B}_e(\mathbf{x}') \Gamma_m(\mathbf{x}') \Gamma_k(\mathbf{x}') d^3 x' \\
&- \frac{\nu R_T \delta h_3}{4\pi} \int_D \int_D \mathbf{b}_0(\mathbf{x}') \mathbf{B}_e(\mathbf{x}') \frac{\mathbf{x}' - \mathbf{x}'''}{|\mathbf{x}' - \mathbf{x}'''}|^3 \\
&\times [\Gamma_m(\mathbf{x}') \times \Gamma_k(\mathbf{x}'')] d^3 x' d^3 x'', \\
L_{km} &= L_T \int_D \int_D \frac{\Gamma_m(\mathbf{x}') \Gamma_k(\mathbf{x}'')}{|\mathbf{x}' - \mathbf{x}''}| d^3 x' d^3 x'' = L_{mk}, \quad (44)
\end{aligned}$$

где обозначено  $L_T = \frac{\mu_0 l_T}{4\pi}$ . Тогда с учетом условия (31) получаем

$$R_{km}^{NL}(\mathbf{I}, \mathbf{B}_e) = R_{mk}^{NL}(-\mathbf{I}, -\mathbf{B}_e). \quad (45)$$

Из соотношений (40), (43) и (45) следует условие взаимности для матрицы нелинейных сопротивлений многополюсника в неоднородном внешнем магнитном поле

$$R_{km}(\mathbf{I}, \mathbf{B}_e(\mathbf{r})) = R_{mk}(-\mathbf{I}, -\mathbf{B}_e(\mathbf{r})). \quad (46)$$

### Методика измерений

Формула (33) представляет матрицу нелинейных сопротивлений многополюсника в виде суммы матрицы линейных сопротивлений (34), элементы которой не зависят ни от токов, ни от внешнего поля, матрицы линейных сопротивлений (35), элементы которой пропорциональны внешнему магнитному полю и не зависят от токов, и матрицы нелинейных сопротивлений (36), элементы которой зависят от токов, но не зависят от внешнего магнитного поля. Однако провести экспериментальную проверку непосредственно соотношений (40), (43) и (45) невозможно, так как потенциалы  $\varphi_k$  в формуле (32) отсчитаны от среднего по поверхности тела потенциала, который сам зависит от втекающих в тело токов.

Выберем произвольный фиксированный путь  $C_{kn}$ , проходящий между  $k$ -м и  $n$ -м контактами многополюсника вне него. Тогда с учетом формул (19), (29) и (32) для напряжения  $U_{kn}$  между этими зажимами получаем

$$U_{kn}(\mathbf{I}, \mathbf{B}_e) = \int_{C_{kn}} \mathbf{E}(\mathbf{r})d\mathbf{r} = \varphi_k - \varphi_n - \frac{d}{dt} \int_{C_{kn}} A(\mathbf{r})d\mathbf{r} = \sum_{m=1}^M \{R_{km}(\mathbf{I}, \mathbf{B}_e) - R_{nm}(\mathbf{I}, \mathbf{B}_e)\} I_m + \sum_{m=1}^M \{L_{km} - L_{nm} - L_{knm}\} \frac{dI_m}{dt} + U_{kn}^e. \quad (47)$$

Здесь

$$L_{knm} = L_T \int_{C_{kn}} \int_D \frac{\Gamma_m(\mathbf{x}')}{|\mathbf{x} - \mathbf{x}'|} d\mathbf{x} d^3x', \quad U_{kn}^e = \frac{d}{dt} \int_{C_{kn}} \mathbf{A}_e(\mathbf{r})d\mathbf{r}$$

— не зависящее от токов  $I_m$  напряжение, создаваемое внешним переменным магнитным полем  $\mathbf{B}_e$ . Слагаемые  $U_{kn}^e$  в уравнениях (47) можно исключить, повторив измерения напряжений в холостом режиме при нулевом токе через контакты.

На практике постоянные токи и напряжения задаются и измеряются гораздо точнее, чем переменные. Поэтому экспериментальную проверку соотношений (40), (43) и (45) следует проводить в режиме постоянного тока, например для преобразователя Холла, геометрия которого приведена на рис. 1.

Проверку соотношений взаимности для нелинейного четырехполюсника целесообразно проводить тем же методом, как и для линейного — при разрыве на одной из сторон в двух режимах измерений:

1) Контакты 1 и 3 подключены к источнику тока  $i_k$ , между контактами 2 и 4 измеряется напряжение  $u_1 = \varphi_2^{(1)} - \varphi_4^{(1)}$ , при этом  $I_1 = i_k, I_3 = -i_k, I_2 = I_4 = 0$ .

2) Контакты 2 и 4 подключены к источнику тока  $i_k$ , между контактами 1 и 3 измеряется напряжение  $u_2 = \varphi_1^{(2)} - \varphi_3^{(2)}$ , при этом  $I_2 = i_k, I_4 = -i_k, I_1 = I_3 = 0$ .

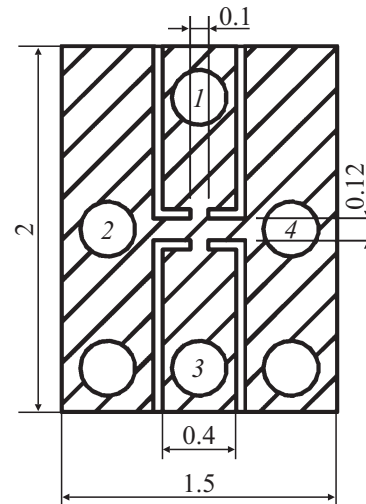


Рис. 1. Геометрия преобразователя Холла; размеры приведены в миллиметрах.

Измерения в режимах 1 и 2 выполняются при нескольких значениях тока  $i_k, k = 1, \dots, K, -i_0 \leq I_k \leq i_0$ , по их результатам методом наименьших квадратов аппроксимируются полиномами ВАХ

$$\tilde{u}_1(i) = \{u_1(i) - u_1(-i)\}/2 = a_1 i + a_2 i^3 + \dots,$$

$$\tilde{u}_2(i) = \{u_2(i) - u_2(-i)\}/2 = b_1 i + b_2 i^3 + \dots \quad (48)$$

и строятся функции

$$\tilde{R}(i) = \frac{\tilde{u}_1(i)}{i} = a_1 + a_2 i^2 + a_3 i^4 + \dots,$$

$$\tilde{R}_2(i) = \frac{\tilde{u}_2(i)}{i} = b_1 + b_2 i^2 + b_3 i^4 + \dots \quad (49)$$

При этом число отсчетов  $K$  должно в несколько раз превышать степень полиномов аппроксимации.

Для слабого внешнего поля  $|\mathbf{B}_e| \ll 1/\nu$  справедливо линейное приближение

$$R_{km}^{NL}(\mathbf{I}, \mathbf{B}_e) = R_{mk}^{NL}(\mathbf{I}) + \mathbf{H}_{km}(\mathbf{I})\mathbf{B}_e.$$

Тогда из формулы (46) следует, что

$$R_{mk}^{NL}(\mathbf{I}) = R_{mk}^{NL}(-\mathbf{I}), \quad \mathbf{H}_{km}(\mathbf{I}) = -\mathbf{H}_{mk}(\mathbf{I}). \quad (50)$$

Из формул (32) и (33), в свою очередь, следует, что

$$a_1(\mathbf{B}_e) = R_{21}^{(1)}(\mathbf{B}_e) - R_{23}^{(1)}(\mathbf{B}_e) + R_{43}^{(1)}(\mathbf{B}_e) - R_{41}^{(1)}(\mathbf{B}_e) = R_1^A + R_1^H(\mathbf{B}_e),$$

$$b_1(\mathbf{B}_e) = R_{12}^{(1)}(\mathbf{B}_e) - R_{14}^{(1)}(\mathbf{B}_e) + R_{34}^{(1)}(\mathbf{B}_e) - R_{32}^{(1)}(\mathbf{B}_e) = R_2^A + R_2^H(\mathbf{B}_e), \quad (51)$$

$$R_1^A = R_{21}^A - R_{23}^A + R_{43}^A - R_{41}^A,$$

$$R_2^A = R_{12}^A - R_{14}^A + R_{34}^A - R_{32}^A,$$

$$R_1^H(\mathbf{B}_e) = R_{21}^H(\mathbf{B}_e) - R_{23}^H(\mathbf{B}_e) + R_{43}^H(\mathbf{B}_e) - R_{41}^H(\mathbf{B}_e),$$

$$R_2^H(\mathbf{B}_e) = R_{12}^H(\mathbf{B}_e) - R_{14}^H(\mathbf{B}_e) + R_{34}^H(\mathbf{B}_e) - R_{32}^H(\mathbf{B}_e).$$

Из формул (40), (43) и (45) следует, что

$$R_1^A = R_2^A = R_A, \quad R_1^H(\mathbf{B}_e) = -R_2^H(\mathbf{B}_e) = R_H(\mathbf{B}_e), \quad (52)$$

где

$$R_A = \frac{a_1(\mathbf{B}_e) + b_1(\mathbf{B}_e)}{2}, \quad R_H(\mathbf{B}_e) = \frac{a_1(\mathbf{B}_e) - b_1(\mathbf{B}_e)}{2}. \quad (53)$$

Соотношения (52) нельзя проверить при одном значении тока, так как по результатам измерения двух величин  $u_1$ ,  $u_2$  не возможно определить четыре величины  $R_1^A$ ,  $R_2^A$ ,  $R_1^H$ ,  $R_2^H$ . Но, согласно условию (50), функции

$$r_1(i) = \tilde{R}_1(i) - a_1 = a_2 i^2 + a_3 i^4 + \dots,$$

$$r_2(i) = \tilde{R}_2(i) - b_1 = b_2 i^2 + b_3 i^4 + \dots \quad (54)$$

от внешнего магнитного поля  $\mathbf{B}_e$  не зависят. Поэтому при выполнении соотношений (40), (43) и (45) из формул (51) и (54) следует, что величина  $R_A$  не зависит ни от тока  $i$ , ни от внешнего магнитного поля  $\mathbf{B}_e$ , а величина  $R_H$  не зависит от тока  $i$  и пропорциональна внешнему магнитному полю  $\mathbf{B}_e$ . Поэтому оценкой точности выполнения соотношений (52) может служить относительное среднеквадратичное отклонение величин  $R_A$  и  $R_H$ , полученное по  $K$  значениям тока

$$\bar{R}_{A/H} = \frac{1}{K} \sum_{k=1}^K R_{A/H}(i_k).$$

$$\delta[R_{A/H}] = \sqrt{\frac{1}{K} \sum_{k=1}^K (R_{A/H}(i_k) - \bar{R}_{A/H})^2}. \quad (55)$$

## Эксперимент

Экспериментальная проверка соотношений взаимности производилась для преобразователей Холла серии ПХЭ фирмы ООО „Сенсор“, имеющих высокую крутизну преобразования порядка 1 В/Т и существенную нелинейность ВАХ. Для измерения ВАХ в экспериментальной установке использовались прецизионный измеритель напряжения и однополярный источник стабильного тока. Для обеспечения измерений при отрицательных значениях тока через преобразователь Холла использовалась система коммутации направления тока. Для проверки влияния магнитного поля на коэффициенты  $a_1(\mathbf{B}_e)$  и  $b_1(\mathbf{B}_e)$ , определенных в формуле (51), использовались кольца Гельмгольца с источником стабильного тока. Для уменьшения влияния геомагнитного поля на результаты измерений преобразователь Холла и кольца Гельмгольца были помещены в центр пермаллового экрана толщиной 1.5 мм, выполненный в виде отрезка трубы диаметром 140 мм и длиной 405 мм. На торцах

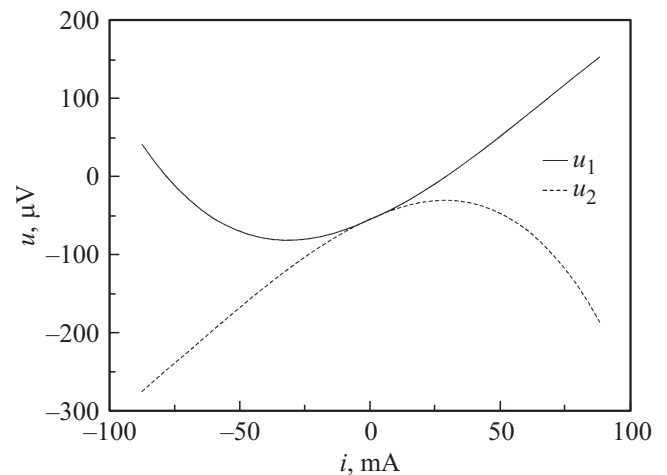


Рис. 2. Экспериментальные зависимости напряжений на потенциальных и токовых контактах от протекающего через датчик тока.

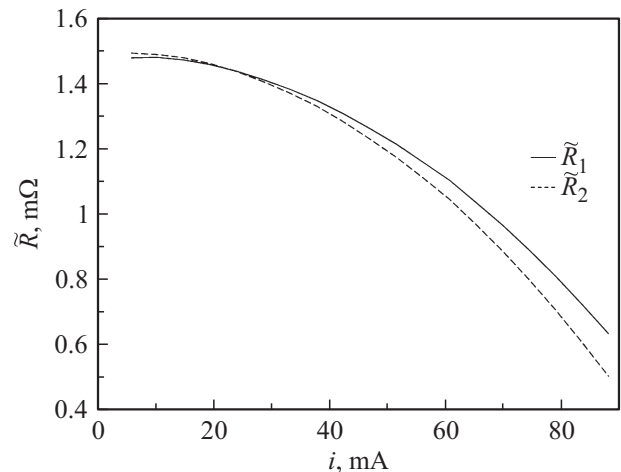


Рис. 3. Экспериментальные зависимости функций  $\tilde{R}_1$  и  $\tilde{R}_2$  от протекающего через датчик тока.

трубы были установлены заглушки, выполненные из магнитомягкой стали толщиной 8 мм. Экспериментальная установка позволяет измерять напряжения с потенциальных и токовых контактов преобразователя в диапазоне  $-500-500 \mu\text{V}$  и среднеквадратичном отклонении порядка  $10 \text{ nV}$ , при токе через преобразователь  $1-100 \text{ mA}$  и индукции внешнего магнитного поля до  $1 \text{ mT}$ .

Для проверки соотношений взаимности использовался преобразователь Холла ПХЭ 606117А. Сначала были измерены зависимости напряжений  $u_1(i)$  и  $u_2(i)$  от протекающего через преобразователь Холла тока при отключенных кольцах Гельмгольца. Из приведенных на рис. 2 результатов видно, что исследуемый преобразователь обладает значительной нелинейностью ВАХ в допустимом диапазоне управляющих токов. Напряжение смещения установки порядка  $-50 \mu\text{V}$  не влияет на вычисляемые по формуле (48) величины. Далее по



$B_e,$ $\mu\text{T}$	$\tilde{R}_1(0),$ $\text{m}\Omega$	$\tilde{R}_1(i_0),$ $\text{m}\Omega$	$\tilde{R}_2(0),$ $\text{m}\Omega$	$R_2(i_0),$ $\text{m}\Omega$	$R_A,$ $\text{m}\Omega$	$\delta[R_A],$ $\text{m}\Omega$	$R_H,$ $\text{m}\Omega$	$\delta[R_H],$ $\text{m}\Omega$
0	1.437	0.634	1.436	0.504	1.521	0.001	-0.010	0.000
-10	1.315	0.502	1.508	0.581	1.493	0.004	-0.106	0.000
+10	1.511	0.709	1.316	0.386	1.495	0.003	0.087	0.001
-50	1.035	0.245	1.785	0.860	1.496	0.004	-0.384	0.001
+50	1.791	0.988	1.037	0.112	1.498	0.003	0.365	0.001
-100	0.688	-0.109	2.135	1.197	1.493	0.002	-0.732	0.002
+100	2.134	1.333	0.685	-0.234	1.495	0.003	0.713	0.002
-300	-0.701	-1.478	3.539	2.597	1.503	0.003	-2.125	0.006
+300	3.532	2.714	-0.706	-1.617	1.497	0.002	2.103	0.006

формуле (49) были построены зависимости функции  $\tilde{R}_1(i)$  и  $\tilde{R}_2(i)$  от протекающего через преобразователь Холла тока, представленные на рис. 3.

Полученные зависимости были аппроксимированы полиномом пятого порядка согласно выражению (49), и по полученным данным построены корректировочные зависимости (54). С использованием этих зависимостей по формуле (53) были найдены сопротивления Холла  $R_H$  и асимметрии  $R_A$ . В диапазоне рабочих токов 25–100 мА полученные сопротивления не зависят от тока с относительной погрешностью порядка  $7 \cdot 10^{-4}$ , что соответствует погрешности производимых измерений.

Далее были проведены измерения при наличии внешнего магнитного поля  $\mathbf{B}_e$ , создаваемого кольцами Гельмгольца. При анализе данных использовались полиномы, полученные на этапе калибровки. Значения функций (49) при нулевом и максимальном токах, а также рассчитанные по формулам (53) и (54) значения сопротивлений Холла  $R_H$  и асимметрии  $R_A$  и их среднеквадратичные отклонения от среднего приведены в таблице.

При аппроксимации методом наименьших квадратов зависимости сопротивления Холла от индукции внешнего магнитного поля получена крутизна преобразования  $7.1 \Omega/\text{T}$ . Сопротивление Холла при нулевом токе в кольцах Гельмгольца, равное  $0.010 \text{ m}\Omega$ , позволяет оценить остаточное геомагнитное поле внутри экрана как  $1.5 \mu\text{T}$ . Сопротивление асимметрии при изменении направления поля не изменяется с точностью до погрешности измерений  $R_A(\mathbf{B}_e) \sim R_A(-\mathbf{B}_e)$ .

## Обсуждение результатов

Соотношение (14) является материальным уравнением для изотропной среды и применимо к системам, к которым применимо кинетическое уравнение (1), предполагающее отсутствие турбулентностей и постоянные концентрации всех сортов носителей заряда [8]. Поэтому приведенный вывод неприменим в режиме лавинного пробоя и межзонных переходов. Кроме того, вывод соотношений взаимности неприменим к неустойчивому режиму, когда решение уравнения (10) может быть не единственным. Поэтому соотношение (16) и вытекаю-

щие из него соотношения взаимности (46) могут не выполняться в сверхсильных полях из-за осцилляций, турбулентности и других нестабильностей [8].

Метод последовательных приближений, использованный для решения уравнений (18), справедлив при  $\delta = \mu_0 \sigma \nu \phi T < 1$ . Характерным при комнатной температуре значениям  $\sigma = 200 (\Omega \cdot \text{m})^{-1}$ ,  $\nu = 50 \text{ m}^2/(\text{V} \cdot \text{s})$  соответствует значение  $\delta = 3.3 \cdot 10^{-3}$ .

Значительная нелинейность измеренных вольт-амперных характеристик преобразователя (рис. 2), при которой  $u(-i) \neq -u(i)$ , обусловлена в основном магнитным самовоздействием токов. При управляющем токе 100 мА создаваемое им внутреннее магнитное поле в пленке преобразователя (рис. 1) может достигать  $\sim 0.5 \text{ mT}$ , что в 300 раз больше остаточного магнитного поля внутри экрана. Уменьшение сопротивления  $\tilde{R}(i)$  в 3 раза при увеличении управляющего тока до 100 мА связано с увеличением проводимости арсенида индия при нагреве проводящей пленки преобразователя током. Рассеиваемая преобразователем мощность при управляющем токе 100 мА достигает 150 мВт. Различие зависимостей  $\tilde{R}_1(i)$  и  $\tilde{R}_2(i)$  (рис. 3) обусловлено не симметричной геометрией преобразователя (рис. 1). Изменение сопротивления асимметрии для различных значений магнитного поля (таблица), по-видимому, связано с изменением температуры окружающей среды на  $1^\circ\text{C}$  при проведении эксперимента. Согласно паспортным данным преобразователя Холла ПХЭ606117А, температурный дрейф его сопротивления асимметрии может достигать  $0.050 \text{ m}\Omega/^\circ\text{C}$ , что хорошо согласуется с полученными результатами.

## Заключение

Формулы (46) показывают, что классические соотношения взаимности [2] выполняются в квазистационарном случае для нелинейного многополюсника, находящегося во внешнем неоднородном магнитном поле даже при наличии существенной нелинейности. Они могут применяться для оптимизации режимов работы элементов функциональной электроники [10] и их сигнальных характеристик. В частности, системная функция преоб-

преобразователя вида (42) не зависит от режима работы преобразователя, определяется только его геометрией и может быть найдена численно. В этом случае ее можно рассматривать как дополнительную паспортную характеристику преобразователя и использовать для компенсации возникающих искажений сигнала путем редукации [11]. Из формул (51) следует, что способ уменьшения погрешностей холловского магнитометра, основанный на использовании линейных соотношений взаимности в скрещенных полях [2], будет справедлив и для высокочувствительного преобразователя Холла с нелинейной ВАХ. Его применение позволит повысить точность магнитных измерений и выделить линейный отклик многополюсника на слабое внешнее неоднородное магнитное поле  $\mathbf{V}_e$  на фоне значительно более сильного магнитного поля  $\mathbf{V}'$ , создаваемого протекающими по элементу токами.

Работа выполнена за счет гранта РФФИ № 15-19-00028 „Разработка методики магнитного структурного анализа и гибридной экспертной системы оперативной технической диагностики металлических изделий в геомагнитном поле“.

## Список литературы

- [1] *Игнатьев А.А., Ляшенко А.В.* Магнитоэлектроника СВЧ-, КВЧ-диапазонов в пленках ферритов. М.: Наука, 2005. 380 с.
- [2] *Голубев А.А., Игнатьев В.К., Никитин А.В.* // ПТЭ. 2008. Т. 51. № 5. С. 53–58.
- [3] *Lars Onsager* // Phys. Rev. 1931. Vol. 37. P. 405–426.
- [4] *Игнатьев В.К., Орлов А.А., Перченко С.В.* // Письма в ЖТФ. 2016. Т. 42. № 4. С. 74–81.
- [5] *Ignatjev V., Orlov A., Perchenko S.* // Progress In Electromagnetics Res. Lett. 2016. Vol. 59. P. 71–75.
- [6] *Дьярмати И.* Неравновесная термодинамика. Теория поля и вариационные принципы. М.: Мир, 1974. 304 с.
- [7] *Де Гроот С.Р.* Термодинамика необратимых процессов. М.: ГИИТЛ, 1956. 281 с.
- [8] *Электродинамика плазмы / Под ред. А.И. Ахизера.* М.: Наука, 1974. 720 с.
- [9] *Свешников А.Г., Боголюбов А.Н., Кравцов В.В.* Лекции по математической физике. М.: Изд-во МГУ, 1993. 352 с.
- [10] *Игнатьев А.А., Ляшенко А.В.* Гетеромагнитная микроэлектроника. Микросистемы активного типа. М.: Наука, 2006. 877 с.
- [11] *Игнатьев В.К., Протопопов А.Г.* // Известия вузов. Приборостроение. 2003. Т. 46. № 3. С. 38–44.